

高等学校教学用書



电 工 基 础

第一册

电 路 理 论 基 础

Г. В. 泽維凱, Н. А. 伊昂金著
周 孔 章 等 譯

高等 教育 出 版 社

本書系根據蘇聯國立動力出版社 (Государственное энергетическое издательство) 1955 年出版的澤維凱 (Г. В. Зевеке) 和伊昂金 (П. А. Ионкин) 合著的“電工基礎”(Основы электротехники) 第一冊“電路理論基礎”(Основы теории цепей) 譯出的。原書是莫斯科莫洛托夫動力學院電工理論基礎教研組教師們的集體著作，是在旧版 (1952 年版“電工原理”) 主編克魯格教授逝世之後修訂出版的。

第一冊的內容包括：直流電路、直流通風性電路、磁路、靜電電路和正弦交流電路，基本上符合莫洛托夫動力學院講授電工基礎課程第一學期所用的教學大綱。

原書經蘇聯高等教育部批准作為動力工程系及機械工程系的教科書。

本書由東北工學院電力系電工原理教研組下列教師翻譯。原序、緒論、第四章及第十二章 12-6 节到 12-15 节由周孔章同志擔任。第一章、第九章到第十二章 12-5 节由湯肇善同志擔任。第二章及第六章到第八章由沈慶輝同志擔任。第三章及第五章由陳紹龍同志擔任。第十三章到第十五章由佟英泰同志擔任。

本書的譯稿並經周孔章和湯肇善二同志校閱。

電工基礎

第一冊

電路理論基礎

Г. В. 澤維凱, П. А. 伊昂金著

周孔章等譯

高等教育出版社出版

北京統一印製廠一七〇號

(北京市書刊出版業營業許可證出字第〇五四號)

上海勞動印制廠印刷 新華書店總經售

統一書號 15010·506 開本 787×1092 1/16 印張 117/8 字數 245,000

一九五七年八月第一版

一九五七年八月上海第一次印刷

印數 1—6,200 定價 (10) ￥1.50

目 录

原序	
緒論	1

第一篇 在直流电流和电压下 电路的性质及其计算方法

第一章 線性电路的一般計算方法和基本性质	4
1-1 电路元件和电路圖元件	4
1-2 电源的等值电路圖	6
1-3 欧姆定律应用在电路圖中具有电动势源的部分	8
1-4 沿無分支电路电位的分布情形	9
1-5 最簡單無分支电路的功率平衡	9
1-6 应用克希荷夫定律計算有分支的电路	11
1-7 节点电位法	15
1-8 回路电流法	17
1-9 叠加原理	20
1-10 互易特性	21
1-11 支路的入端电导和互电导	22
1-12 补偿定理	24
1-13 电压和电流間的线性关系	24
1-14 关于电流和电压間相关增量的定理	26
第二章 線性电路圖的轉換	26
2-1 概說	26
2-2 含有混联电阻的电路圖的轉換	27
2-3 电阻的三角形联接与三射線星形联接的互相轉換	29
2-4 电阻的多射線星形联接轉換成等值多角形联接	31
2-5 具有电动势源及电流源的并联支路的轉換	32
2-6 具有电动势源的电路圖轉換成具有节点电流(电流源)的等值电路圖	34
第三章 二端網絡和四端網絡	36
3-1 二端網絡概說	36
3-2 有源二端網絡的定理及其在計算有分支电路方面的应用	36
3-3 从有源二端網絡到無源二端網絡的能量傳輸	40
第四章 有电容器的电路	51
4-1 有电容器的电路的一般特性	51
4-2 有电容器的电路之基本定律	52
4-3 含有电容器的有分支电路的計算	53
4-4 部分电容	55
第五章 非線性电路	57
5-1 最簡單的非線性电路的元件和等值电路圖	57
5-2 計算具有非線性元件的無分支电路的圖解法	59
5-3 計算具有非線性元件的并联电路的圖解法	60
5-4 計算具有無源非線性元件和無源線性元件的混联电路的圖解法	60
5-5 研究非線性电路情况的解析方法示例	61
5-6 具有非線性元件的有分支电路的計算	62
5-7 計算具有綫性与非綫性元件的电路时, 有源二端網絡及四端網絡理論的应用	65
5-8 具有非線性元件的最簡單無分支电路中电路状态稳定性概念	68
第六章 磁路	71
6-1 磁路的基本概念和基本定律	71
6-2 無分支磁路的計算	74
6-3 有分支磁路的計算	76
6-4 含有空气隙的环形永久磁鐵的磁路的計算	78
6-5 含有永久磁鐵的無分支非均匀磁路的計算	80

第二篇 在正弦电流和正弦电压下 电路的性质及其计算方法

第七章 正弦电流和正弦电压	81
7-1 交变电流	81
7-2 关于交流發电机的概念	82
7-3 正弦电流	83
7-4 电流、电动势及电压的有效值	84
7-5 用向量和复数来表示正弦时间函数	84
7-6 同频率正弦时间函数的加法	85
第八章 正弦电路的基本概念	87

8-1 电路及其电路圖.....	81	12-7 电路中感应耦合的元件間之能量傳輸	133
8-2 电阻中的正弦电流.....	89	12-8 無功功率的守恒定律	134
8-3 电感中的正弦电流.....	89	12-9 無鐵心的变压器(空气心变压器)	135
8-4 电容中的正弦电流.....	91	12-10 理想变压器	137
8-5 电阻、电感和电容的串联	92	12-11 線圈和变压器有鐵心时所引起的現象	138
8-6 阻抗.....	93	12-12 鐵心線圈的向量圖和等值电路圖	140
8-7 导納.....	95	12-13 鐵心变压器的等值电路圖	140
8-8 功率.....	97	12-14 具有变压器的电路的計算	143
8-9 無源二端網絡	100	12-15 自耦变压器	144
✓8-10 关于集膚效应和鄰近效应的概念	102		
8-11 电容器的参数和等值电路圖	103		
8-12 線圈和变阻器的参数和等值电路圖	104		
第九章 正弦电流电路的計算	106		
9-1 受电器的串联	106		
9-2 受电器的并联	107		
9-3 受电器的混联	108		
9-4 复杂的有分支电路	109		
9-5 位形圖	111		
第十章 电路中的諧振	112		
10-1 無分支电路的諧振	112		
10-2 無分支电路的频率特性	114		
10-3 具有两个并联支路的电路的諧振	115		
10-4 具有两个并联支路的电路的频率特性	118		
10-5 关于复杂电路中諧振的概念	119		
第十一章 在正弦电流和电压下的能量傳輸	119		
11-1 在傳輸能量时,輸电綫始端和終端电压間的关系	119		
11-2 沿綫傳輸最大功率的条件	121		
11-3 从有源二端網絡向無源二端網絡傳輸最大功率的 条件	122		
11-4 無源四端網絡	123		
✓ 第十二章 具有互感的电路	124		
✓12-1 有感应耦合的电路元件	124		
✓12-2 互感电动势	126		
12-3 有互感的受电器的串联	128		
12-4 有互感的受电器的并联	129		
12-5 有互感的有分支电路的計算	129		
12-6 感应耦合的等值替换	131		
参考書刊			
中俄文对照索引			

第二册 目录

原序

第二篇 在正弦电流和正弦电压下 电路的性质及其计算方法(续完)

第一章 具有分布参数的电路	181	1-9 無畸变的綫	193
1-1 長綫中的电流和电压	181	1-10 有負載的情况表为空載情况和短接情况的叠加	195
1-2 均匀長綫方程式	181	1-11 有損耗的綫的空載, 短接和有負載的情况	196
1-3 均匀長綫中的稳定状态	182	1-12 無損耗的綫	199
1-4 均匀長綫方程式的双曲綫函数解	185	1-13 駐波	201
1-5 均匀長綫的特性	187	1-14 無損耗的綫的入端阻抗和入端導納的圖圖	206
1-6 長綫的入端阻抗	189	1-15 長綫看作四端網絡	208
1-7 波的反射系数	191	1-16 对称四端網絡的特性阻抗和傳播系数	210
1-8 接以特性阻抗的有損耗的綫	191	1-17 鏈形电路圖	212

第三篇 在非正弦电流和电压下 电路的性质及其计算方法

第二章 非正弦电流	214	4-5 在含有非綫性电抗的电路中电压和电流曲綫的 形状	245
2-1 非正弦电动势和非正弦电流	214	4-6 頻率三倍器	247
2-2 周期性非正弦曲綫分解成三角級数	214	4-7 在含有热电阻的电路中电流和电压曲綫的形状	249
2-3 周期性非正弦电动势和电流的極大值、有效值 及平均值	216	4-8 用慣性非綫性元件代替实际的非綫性元件	249
2-4 表明非正弦周期性曲綫形状的系数	217	4-9 当計算綫圈和变压器时鉄心的非綫性特性曲綫 的估計	250
2-5 具有周期性包綫的非正弦曲綫	218	4-10 关于慣性非綫性电路計算方法的概念	253
2-6 非周期性曲綫	220	4-11 关于慣性非綫性磁路計算方法的概念	255
2-7 具有非正弦电动势和非正弦电流的电路之計算	222	4-12 鉄磁諧振現象	256
2-8 在非正弦电动势及非正弦电流下的諧振	225	4-13 电压鉄磁諧振	257
2-9 周期性非正弦电流的功率	226	4-14 电流鉄磁諧振	258
2-10 三相制中的高次諧波	227	4-15 电压穩定器	259
第三章 頻率濾波器	228	4-16 具有非單一电源的电路	260
3-1 濾波器	228	4-17 在具有直流和交流电动势的电路中的整流器	260
3-2 低通濾波器	229	4-18 在具有直流和交流电动势的电路中的鉄心綫圈	261
3-3 高通濾波器	234	4-19 頻率二倍器	263
3-4 單通帶濾波器	235	4-20 在具有無惰性电阻的电路中直流电动势对于电 流的交流分量的影响	264
3-5 單除帶濾波器	238	4-21 三極电子管的等值电路圖	265
第四章 非綫性交流电路	239	4-22 产生調制振蕩的原理	266
4-1 非綫性交流电路的一般特性	239	4-23 在具有非綫性电感的电路中直流分量对交流分 量的影响	267
4-2 具有單一电源的电路	240	4-24 鉄磁功率放大器	269
4-3 在具有單向电阻的电路中电流曲綫的形状	241		
4-4 最簡單的整流器	242		

第四篇 电路中的过渡过程及其计算方法

第五章 用經典法計算具有集中参数的电路中的 过渡过程	271	5-2 过渡、强制和自由状态	271
5-1 在电路中过渡过程的發生和开閉定律	271	5-3 r, L 电路的短接	273
		5-4 r, L 电路接通到直流电压	275

5-5 r, L 电路接通到正弦电压	276	7-3 具有矩形波前的波的發生	326
5-6 r, C 电路的短接	277	(a) 具有矩形波前的波	326
5-7 r, C 电路接通到直流电压	278	(b) 以电阻接向有負載的綫	327
5-8 r, C 电路接通到正弦电压	280	(B) 終端有負載的綫的开断	328
5-9 在無分支的 r, L, C 电路中的过渡过程	281	7-4 寻求改接时所發生的波的普遍情形	328
5-10 电容器的非周期放电	282	7-5 杂散波	329
5-11 电容器非周期放电的临界情形	284	7-6 有矩形波前的波从电阻的反射	330
5-12 电容器的周期(振荡)放电	284	7-7 决定反射波电压和电流的普遍方法	331
5-13 非周期的 r, L, C 回路接通到直流电压	287	7-8 在含有集中电容和电感的綫中过渡过程的定性研究	335
5-14 振荡的 r, L, C 回路接通到直流电压	287	7-9 在接于电阻的綫中波的多次反射	336
5-15 非周期的 r, L, C 回路接通到正弦电压	288	7-10 已充电的綫接于电阻时波的多次反射	338
5-16 振荡的 r, L, C 回路接通到正弦电压	289	第八章 非綫性电路中的过渡过程和自生振荡	339
5-17 用經典法計算过渡过程的一般情形	292	8-1 非綫性电路中过渡过程的一般特性	339
5-18 电路接通到連續变化的电压(丢阿蔻尔公式)	297	8-2 非綫性电路中过渡过程的計算方法	240
5-19 电路接通到任意形式的电压	298	8-3 鐵心綫圈接通到直流电压	341
第六章 用运算法和福里哀积分法計算具有集中参数的电路中的过渡过程	301	8-4 鐵心綫圈接通到正弦电压	345
6-1 运算法的基本原理	301	8-5 有电容負載的整流器接通到正弦电压	348
6-2 最簡單函数的变换式	302	8-6 具有电弧, 电感和电阻的电路接通到正弦电压	349
6-3 函数的微商和积分的变换式	303	8-7 特性曲綫具有下降区段的非綫性电阻	350
6-4 分解定理	304	8-8 关于具有非綫性电阻的电路中状态的稳定性的概念	351
6-5 欧姆定律和克希荷夫定律的运算形式	306	8-9 含有氖灯的电路中的弛張振荡	353
6-6 等值运算电路圖	309	8-10 不衰減的正弦振荡的获得	354
6-7 含有互感的支路中的过渡过程	313	8-11 过渡过程在相平面上的映像	355
6-8 接通公式	316	8-12 正弦振荡發生器的相述	358
6-9 过渡过程的计算归結成为零值初具条件	318	8-13 决定自生振荡之振幅的諧波平衡法	360
6-10 依据变换式决定自由电流法	319		
6-11 用福里哀积分法計算过渡过程	320		
6-12 計算过渡过程的各种方法的比較	322		
第七章 具有分布参数的电路中的过渡过程	324		
7-1 在具有分布参数的电路中过渡过程的發生	324		
7-2 均匀長綫方程式的通解	324		

附录**参考書目****中俄文对照索引**

緒論

今天，电能在工業所有各个部門中、在运输業方面、在農業方面以及在日常生活里都有着最广泛的应用。

蘇維埃國家的天才織造者弗拉基米尔·依里奇·列寧曾說過：“共产主义——这就是苏維埃政权加上全国电气化……。只有当国家电气化了，只有当我们們在工業、農業和运输業方面奠定了現代大規模工業的基础的时候，我們才取得了最后的胜利”。（列寧全集俄文版第31卷484頁）。

在广义上講，电磁現象实际应用的辽闊領域称为电气工程。

因为电气工程所有各个部門彼此之間都有联系，所以在高等电气工程的教育体系中，就有必要設立“电工理論基础”这一課程作为學習电气工程各种專業課程的基础。

現在，电气工程的專業課程对于“电工理論基础”課程提出了下列兩方面的要求：一方面要計算和研究用电流、电压、功率、磁通等来表明的过程，另一方面要計算和研究發生于电磁場中的現象。第一类問題屬於电路的計算和研究，第二类問題則屬於电磁場的計算和研究。

电气工程的發展需要在學習与研究电磁現象的理論方面及其实际应用方面进行巨大的工作。

許多發現和發明應該归功于俄国的学者和工程师們，他們曾經为电气工程的最重要部門奠定了基础。

M. B. 罗蒙諾索夫創立了关于大气电的新穎學說，并且發現了質量和运动守恒定律。在

A. 伏特發明伽伐尼电堆之后，就有了可能获得电流。B. B. 彼得罗夫在研究电路中的現象时發現了电弧（1802年），他并且指出电弧有实际应用于照明，金屬的熔化及焊接的可能。

M. 法拉第和 O. X. 楞次在發展关于电磁現象學說方面起了極其重要的作用。

1831年法拉第發現电磁感应現象。

1833年O. X. 楞次發現了确定感应电流与其电磁及电力的相互作用之間的关系的定律。特別是，他确定了电磁慣性原理。1844年O. X. 楞次單独地（与焦耳無关）确定了如下的定律：当有电流流过时，导体中所發生的热量与导体的电阻和电流的平方成正比例。

全世界第一个电磁电报是 II. Л. 希林格于1832年所建立的。

I. 克希荷夫在1845年表述了有分支电路的基本定律，这对于电气工程在理論和实际方面的發展具有巨大的意义。

II. H. 亞布洛契科夫所發明的电燭（1876年）奠定了电气照明的基础。

第一盞炭絲白熾灯是 A. H. 洛迪金所創制的。

在十九世紀后半叶的其他俄国学者之中，必須指出 A. Г. 斯托列托夫和 H. A. 烏莫夫兩人：斯托列托夫最先詳細地研究了鐵的磁性，并且發現了光电效应；烏莫夫則为物体中电磁能量运动方程式的推导奠定了基础。

因此，在从1800年到1875—1880年这一时期之内，正是由于实用电工技术的發展，特别是由于出現了电报，电鑄和电气照明技术，直流

电路的理論也随之而日益發展。在这个时期里，曾經确定了电路理論的基本概念，并創立了一些計算电路的最重要方法[文献 1, 6]。

1876 年, II. H. 亞布洛契科夫开始应用交变电流。在他的电燭中，应用交变电流使炭精的燃燒趋于稳定，且便于从一个电源向許多灯盞供电。

随着电能消費的扩大，就提出了远距离輸电的問題。要解决这个問題，必須采用不同的电压来輸送电能和分配电能。对于交变电流，这个問題很容易用变压器来解决，变压器也是 II. H. 亞布洛契科夫發明的。

由于 M. O. 多利沃-多布罗沃尔斯基的發明，交变电流已为大家所公認，并在电力方面获得了广泛的应用。M. O. 多利沃-多布罗沃尔斯基研究出了現在已經到处应用的三相制，在 1889 年制出了第一部三相电动机，并研究出了三相电路中的所有各个环节，而在 1891 年他用三相电流將电能輸送到 175 公里的距离。交变电流的应用要求解决許多問題，而成为研究电工理論基础整个領域的根本，于是，电工理論基础整个領域在二十世紀初叶就得到了交流电理論的名称。Ч. II. 史坦因美茲引用复数量來計算电路的方法是交流电理論發展上的特別重大事件。

除了必須解决屬於电路和磁路的理論問題之外，实用电工技术还提出了关于电磁場計算的問題。电机和电磁器具的設計需要計算磁場，要使通电流的部分获得可靠的絕緣就必须計算电場。要計算交变电流沿导体横截面的分布，则需要解决关于計算电磁場的問題。

1878 年麦克斯韋在其“論电与磁”的經典著作中，用数学形式闡明了电磁場的理論基础，这是法拉第关于电磁場的物理現实这一觀念之推广和进一步的發展。在 1887—1889 年間

Г. 赫茲試驗成功的关于电磁波的發生和傳播的工作，以及 II. H. 列別捷夫証明光波的压力的工作，都用實驗証明并且發展了麦克斯韋所探討的电磁場理論。

A. C. 波波夫在 1895 年發明了無綫电通訊，这在人类文化生活上开辟了一个新的紀元。無論是对于电路理論的研究，或者是对于电磁場理論的研究，無綫电的發展都具有巨大的推動作用。~

因此，由于电气工程各个部門的發展，到二十世紀初叶，不仅將电路和磁路理論的問題而且將电磁場理論的实用問題都同时从物理課中划分出来，而成为独立的課程。

这样，在 1904 年 B. Φ. 米特开維奇教授便在彼得堡工程学院开始講授“电現象和磁現象的理論”課程。1905 年 K. A. 克魯格教授在莫斯科高等工業学校开始講授“交流电理論”課程，他写的教程于 1906 年出版問世。在俄国企圖將电工理論基礎問題綜合成一整体的第一本書籍，是 1916 年出版的 K. A. 克魯格所著的“电工基础”。

因此，在电气工程發展的过程中必須指出第二个阶段 (1880—1917 年)，这是“电工理論基础”形成为独立課程的一个阶段。

虽然在俄国具有曾为全世界电气工程付出了卓越貢獻的、杰出的俄国学者和發明家們的工作成果，但由于革命前俄国經濟的落后，电气工业并沒有得到应有的發展。只有在偉大的十月社会主义革命之后，我們的国家(指苏联——譯者)在共产党和苏維埃政府領導之下才建立了强大的电气工业，使我們完全不需要从国外輸入电气工程的各种設備。在胜利地超额完成了俄罗斯国家电气化計劃 (ТОЭ IPO 計划) 之后，在战前各五年計劃的年代中，电的应用在国民经济所有各个部門里获得了巨大的發展。今

天，我們正在為實現蘇聯共產黨第十九次代表大會的歷史性決議進行着偉大的工作。全世界最大的發電站在建造中。在尺寸和技術數據方面都是空前未有的機電的生產。所有工藝程序都在廣泛地推行自動化。國民經濟所有各個部門都採用了最新的技術。蘇聯在1954年建成了世界上第一座利用原子能為和平事業服務的發電站，並已正式發電。只有具备了建立在高度科學水平上的精深的理論基礎，才可能完成這些宏偉的任務。

從本世紀的二十年代開始，電工理論基礎發展得極為迅速。幾乎對於電氣工程所有各個部門都具有重要意義的一般電路理論獲得了廣闊的發展。

在電路理論的領域中，對於電氣工程許多新的部門極為重要的一部分，就是所謂非線性電路的理論。非線性電路是這樣一種電路，它的元件所具有的參數（電阻、電感、電容）與流過其中的電流或加於元件上的電壓之大小或方向有關。

電磁場理論也獲得了廣闊的發展。已經研究出一些關於電磁場方面新的計算方法和新的實驗研究方法，也研究了電磁場中帶電質點動力學的問題。在物理領域內，對於不同媒介質中的電磁過程曾經有成效地進行了研究而且在繼續研究着；此外，在擴大電磁場的應用範圍方面也進行了許多工作而且還在繼續進行着。

從定性和定量兩方面來研究發生於各種電氣設備中的電磁現象和過程，就是“電工理論基礎”這一課程的對象。

在所有那些為了各種技術目的而設計的現代電氣設備中，總是進行著這樣或那樣的能量變換。發電機和電動機是用来使機械能與電能

互相變換的。利用變壓器就可以將一種電壓之下的電能變換成另一種電壓之下的電能。

在電燈泡裡進行著由電能變換成光能的過程。在許多電氣設備中，其各個個別元件之間也發生著電能的重新分配。

導體、電介質和鐵磁質是製造各式各樣的電氣設備所用的主要材料。

具有高電導系數的導電材料有這樣一種特性，就是它能傳導電流而沒有顯著的電能損耗，因此，這種材料被廣泛地用來在一定的方向之下輸送電能。要集中電場的能量並縮小電場的體積，通常可以利用具有高介電系數的電介質之電容器。要集中磁場的能量並縮小磁場的體積，則照例採用具有高導磁系數的鐵磁材料。

“電工理論基礎”這一課程的目的就是要尽可能在充分普遍形式之下教給學生關於電磁現象和過程的各種定性和定量關係的知識，並且提供出一些解決各種電氣工程專門方面的問題的基本方法。

所研究的電磁現象和過程的定性和定量兩方面有著不可分離的聯繫。因此，在高等學校中“電工理論基礎”這一課程的學習，就必須以從物理和數學課中所獲得的知識作為基礎。這些知識，在“電工理論基礎”課程中，將隨著探求那些發生在電路和磁路以及電磁場中的現象和過程之分析方法、計算方法和實驗研究方法，而得到擴大與發展。

無論是研究電路和磁路中的物理過程，或者是研究各種設備的電磁場，唯一的科學的認識方法就是辯証的方法：“從活的觀察——列寧說——到抽象的思維，再從抽象的思維到實踐，這就是認識真理、認識客觀現實的辯証方法”。

第一篇 在直流电流和电压下 电路的性质及其计算方法

第一章 线性电路的一般计算方法和基本性质

1-1. 电路元件和电路图元件

确保能在其中产生电流的那些设备的集合
统称为电路。

电路用来分配电能并使电能与其他类型的能量作相互的变换。电能产生器和电能接受器以及联接于其间的导线是电路的基本元件。

电能产生器（原电池，蓄电池和发电机等）变化学能，机械能，热能和其他类型的能量为电能。相反地，电能接受器（电灯，电热器具和电动机等）则变电能为热能，光能和机械能等。

在不随时间而变的电流和电压下，从电能产生器中获得电能而在电能接受器中将其变形的电路称为直流电路。

术语“电能接受器”在后面将用较简短但意义相同的术语——受电器，负载和用户——来代替。而术语“电能产生器”则用较简短的术语——电源，供电电源或电源——来代替。

在图 1-1 中用符号表示出最简单的电气设

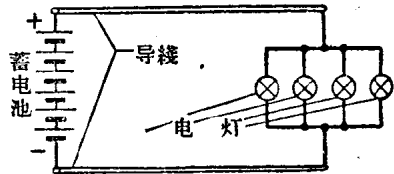


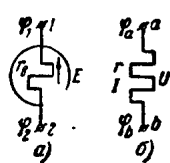
图 1-1.

备，其中具有蓄电池类的电源和电灯类的受电器。电源和受电器的端钮之间用两条导线联接

起来。电源，联接导线以及受电器共同构成了闭合的回路。在这个回路中由于电源电动势的作用，产生了连续的单方向电荷运动。

电源、两条导线和受电器这三个元件的集合体就是最简单的直流电路。实际上，常会遇到具有许多电源和许多受电器的更为复杂的直流电路。不论是在简单的电路中也好，或是在复杂的电路中也好，在恒定的电流和电压下所有的磁场和电场都是不随时间而变的。因此，在这种电路中不会产生自感电动势和互感电动势，而且在导线周围的电介质中不会产生位移电流。

为了简化电路的讨论过程，我们用计算电路图或理想电路来代替原来的电路。同时，我们再利用两种基本的电路图元件：具有电动势 E 和内阻 r_0 的电源以及受电器和导线的电阻 r （图 1-2）。



电动势 E 决定于当电源内没有电流时其两端钮（1 和 2）间的电位差或电压，而与产生此电动势的物理本质（接触电动势，温差电动势等）无关：

$$E = \varphi_1 - \varphi_2 = U. \quad (1-1)$$

取从低电位到高电位的方向为电动势的方向，并用箭头表示之。

如在电源的端钮上接以受电器（负载），则

在閉合回路中產生電流。這時，由於電源內部

的電壓降落 U_e ，亦即由於內阻 r_e 上的壓降：

$$U_e = r_e I,$$

端鉗 1 和 2 之間的電壓或電位差就不等於電源的動力了。

圖 1-3 表示有負載電源的一條最典型的所謂外特性曲線 $U = \varphi_1 - \varphi_2 = U(I)$ 。觀察這條特性曲線可以看出，當電流由零升到 $I \approx I_1$ 時，電源的端電壓按直線規律下降

$$U = E - U_e = E - r_e I.$$

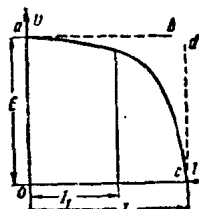


圖 1-3.

換句話說，在上述的電流變化範圍內，電源的內電壓降落與電流成正比例。當電流繼續增加時，它的數值就不能與電源內電壓降落成正比例了，即外特性曲線不再是一條直線。電壓降低的原因是多種多樣的，舉例來說，對於某一些電源來說，是由於動力的降低所引起的，對於另一些電源來說，則是由於內阻的增大所引起的，而對於第三類電源來說，則又可能是同時由於動力的降低和內阻的增大所引起的。

電源所發出的功率由下面的公式決定：

$$P_u = EI. \quad (1-2)$$

談到功率的問題，應該注意到在電工方面已建立起來的關於這個術語的不正確的用法。例如，我們常常說“發生功率”、“輸出功率”、“消耗功率”、“傳輸功率”和“損失功率”等等，而實際所發生的、輸出的、消耗的、傳輸的和損失的不是功率而是能量。功率只說明各個能量過程中的強度，是以單位時間內的能量（發生的、輸出的、傳輸的等等）來量計的。因此，正確的說法是：發生能量的功率、傳輸能量的功率、消耗能量的功率等等。為了遵守已有的傳統起見，在後面我們常採用上述不正確的但卻簡單的表

達方法。

作為理想電路元件的受電器的電阻 r （圖 1-2, 6）可以說明電能的消耗，亦即說明電能轉變成其他形式的能量，能量變換的功率為

$$P = rI^2. \quad (1-3)$$

在一般情形下，受電器的電阻 r 與這個受電器中的電流 I 有關，即 $r(I)$ 。

根據歐姆定律，電阻上的電壓為

$$U = rI. \quad (1-4)$$

應該指出，還在 1801—1802 年，科學院士 B. B. 彼得羅夫就非常接近於發現電壓 U 和電流 I 之間的這個定律（1-4）了。遲到 1826 年，歐姆才給出這個定律的公式[文獻 2]。

在電路的計算上，除了電阻以外還採用電導的概念：

$$g = \frac{1}{r}.$$

實際上，所給出的常不是電阻對電流的依從關係 $r(I)$ ，而是這個電阻上的電壓對電流的依從關係 $U(I)$ ，或者相反的關係，即電流對電壓的依從關係 $I(U)$ 。特性曲線 $U(I)$ 稱為伏安特性曲線。

在圖 1-4 中表示出了金屬絲電燈的伏安特

性曲線 $U_1(I)$ 和炭絲電燈的伏安特性曲線 $U_2(I)$ 。觀察這些特性曲線可以看出，每種電燈的電壓與電流的關係都不是線性的。金屬絲電燈的電阻隨電流的增大而增

大，而炭絲電燈的電阻則隨電流的增大而減小。

含有非線性特性曲線的元件的電路稱為非線性電路。

如電源的動力，內阻和受電器的電阻都與電流和電壓無關，則電源的外特性曲線 $U(I)$

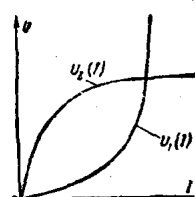


圖 1-4.

和受电器的伏安特性曲线都是线性的(图 1-5)。

仅由具有线性特性曲线的元件所组成的电路称为线性电路。

大多数的实际电路都可列入线性电路。因此，研究

线性电路的性质和计算方法，不仅在理论上而且在实际上也是十分重要的。

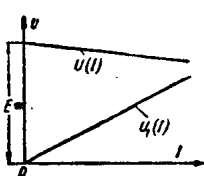


图 1-5.

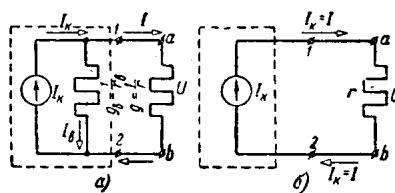
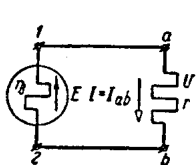


图 1-8.

1-2 电源的等值电路图

由基本元件所组成的电路图应该视为实际电路的计算模型，亦即能利用它来分析电路的电的情况。

最简单的电路及其电路图由一个具有电动势 E 和内阻 r_s 的电源和具有电阻 r 的受电器所组成(图 1-6)。在电路的外部(对电源来说)，



亦即在电阻 r 中，电流的方向从高电位 $\varphi_a = \varphi_1$ 的 a 点流向低电位 $\varphi_b = \varphi_2$ 的 b 点。

在电路图中，电流的方向

图 1-6. 向用空的箭头(\rightarrow)表示，或者在字母 I 的傍边标以双下标——第一个字母对应于高电位的点，而第二个字母则对应于低电位的点。这样，对于图 1-6 中的电路图就有 $I = I_{ab}$ 。

我们来证明，具有已知电动势 E 和内阻 r_s 的电源可以用两种基本的等值电路图来代替(图 1-7 和 1-8)。

电源的端电压低于电动势 E ，所低的数值

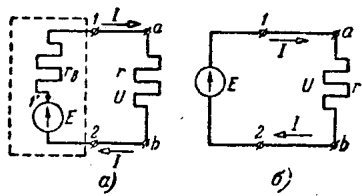


图 1-7.

等于电源的内电压降落：

$$U = \varphi_1 - \varphi_2 = E - U_s = E - r_s I. \quad (1-5)$$

另一方面，由等式 $\varphi_1 = \varphi_a$ 和 $\varphi_2 = \varphi_b$ ，知电阻 r 上的电压为：

$$U = \varphi_a - \varphi_b = r I. \quad (1-6)$$

从式(1-5)和(1-6)可以推出， $E - r_s I = r I$ ，或

$$E = r_s I + r I \quad (1-7)$$

和

$$I = \frac{E}{r_s + r}.$$

由此可见，电源的内阻 r_s 和受电器的电阻 r 都在限制电流的大小。

在等值电路图中，可以用与受电器电阻相串联的电阻 r_s 来代表内阻。根据这些电阻上各电压间的关系，容易得到图 1-7 所示的代表电源的两种不同等值电路图。

在图 1-7, a 的等值电路图中，电压 U 与负荷电流有关，其值决定于电动势 E 与电压降落 U_s 之差。如 $r_s \ll r$ ，亦即电源所处的状态接近于所谓空载状态，则实际上可以略去它的内电压降落，而令 $U_s = r_s I \approx 0$ ，于是得到图 1-7, b 中的等值电路图。这种没有内电阻 ($r_s = 0$) 的电源称为电动势源(电压源或具有给定电压的电源)，并用内中带有箭头的圆圈和字母 E 表示之。这种电源的端电压与受电器的电阻无关，等于电动势 E 。其外特性曲线为一平行于横坐标轴的直线(图 1-3 中的虚直线 ab)。

电源也可以用图 1-8 中另外两个互不相同的等值电路图来表示。为了论证这一原理，我

們在方程式(1-7)的右边和左边各除以 r_s 。結果可得：

$$\frac{E}{r_s} = I + \frac{U}{r_s} = I + U g_s$$

或 $I_s = I + I_s$, (1-8)

其中 $I_s = \frac{E}{r_s}$ 为电源短接时的电流；

$I_s = \frac{U}{r_s} = U g_s$ 为某一假想电流，等于电源端电压与内阻之比；

$$I = \frac{U}{r} = U g$$
 为負荷电流。

圖 1-8, a 所示的等值电路圖就滿足上述的方程式(1-8)，此时，內电阻 r_s 与負載电阻 r 相并联。

如 $g_s \ll g$ 或 $r_s \gg r$ ，亦即电源所处的状态接近于所謂短路状态，则可取电流

$$I_s = U g_s \approx 0$$

結果得到圖 1-8, b 的等值电路圖。

这种具有内导 $g_s = 0$ ($r_s = \infty$) 的电源称为电流源具有給定的电流，并以帶有箭头的圓圈和字母 I_s 表示之。电流源的电流 I_s 与負載电阻 r 無关，它等于 $\frac{E}{r_s}$ 。

电流源的外特性曲綫为平行于縱坐标軸的直綫(圖 1-3 中的虛直綫 cd)。

因此，在許多情形下，实际的电源可以視為电动势源亦可視為电流源，这要依电源内阻 r_s 与受电器电阻 r 的对比来决定。

但当电源内阻 r_s 与受电器电阻 r 的数值为同級时，则电源可以視為电动势源，亦可視為电流源。为此，必須將电阻 r_s (圖 1-7, a) 或电导 $g_s = \frac{1}{r_s}$ (圖 1-8, a) 从电源内取出，并分别与电阻 r 或电导 $g = \frac{1}{r}$ 相联合。

电动势源和电流源称为等值电路圖的有源元件而电阻和电导则称为無源元件。

当拟定这种或那种实际电路的等值电路圖时，要尽可能考慮到电路的每一部分和整个电路的已知的电的性質。

例如，我們來研究双导体輸电线的等值电路圖的拟定，这种綫在圖 1-9, a 中用图形表示

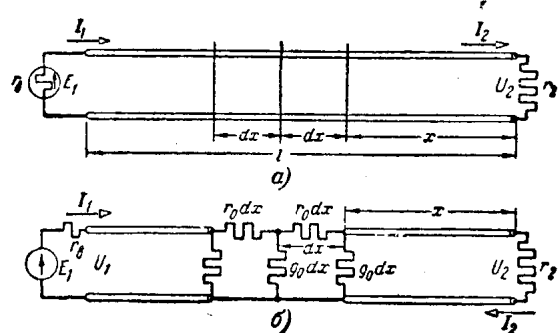


圖 1-9.

出来。在线的始端接以具有电动势 E_1 和內阻 r_s 的电源，而在线的終端接以受电器，其电阻等于 r_2 。

显然，受电器的电压低于线的始端的电压，所低的数值等于导线电阻上的电压降落。线的終端的电流小于电源的电流，所小的数值等于兩导线之間的漏电流(由于絕緣不絕對完善)。

設每条导線的單位長度具有电阻 $\frac{r_0}{2}$ ，而在綫的同一單位長度內綫間的电导等于 g_0 。

將全綫分为長度为 dx 的許多元段(圖 1-9, a)。这种綫的每一元段具有來綫和回綫的合成电阻

$$r_0 dx = \frac{r_0}{2} dx + \frac{r_0}{2} dx$$

并具有电导 $g_0 dx$ 。

結果，全綫可用由許多元段相聯而成的电路圖来代替，每一元段具有电阻 $r_0 dx$ 和电导 $g_0 dx$ (圖 1-9, b)。在这个等值电路圖中，我們用电动势源 E_1 和电阻 r_s 来代表电源。

利用以上所得到的电路圖(圖 1-9, b)，根据給定的始端(或終端)电压和电流，就能求出

线上任意一点的电压和电流(第3-9节)。

如线的漏电流远小于受电器的电流，则可以略去漏电流而从等值电路图(图1-9, 6)中取消所有的电导 $g_0 dx$ 。结果，我们得到一个在所有元段中均含同一电流的简单的无分支电路图。这种电路图表示在图1-10中，其中线的电阻 $r_s = r_0 l$ 和电阻 r_e 及 r_2 相串联。利用图1-10中的电路图，可以决定不考虑漏电流时线的始端和终端的电压与功率间的关系(第3-3节)。

必须学会根据电路的电的性质和由给出的问题所决定的条件来正确地选择等值电路图，并学会利用它们来研究实际电路的情况。

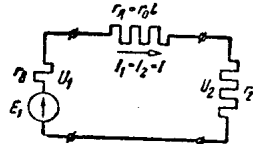


图 1-10.

1-3. 欧姆定律应用在电路图中具有电动势源的部分

大家知道，为了单独地决定电路中各点的电位，必须任意选定一任意点的电位。例如在图1-7, a所示的电路图中，譬如说，假定 $\varphi_2 =$ 常数 $=a$ ，则

$$\varphi_1' = \varphi_2 + E = a + E. \quad (1-9)$$

在最简单电路的外部，电流由电位高的点流向电位低的点，而在一般情形下，则在电路的任何的无源元件中，电流也是由电位高的点流向电位低的点。因此，点1的电位 φ_1 高于点2的电位：

$$\varphi_1 = \varphi_2 + r_s I.$$

$$\text{同样 } \varphi_1' = \varphi_1 + r_s I. \quad (1-10)$$

从等式(1-9)和(1-10)，我们有：

$$\varphi_2 + E = \varphi_1 + r_s I,$$

由此得到电流：

$$I = \frac{\varphi_2 - \varphi_1 + E}{r_s}. \quad (1-11)$$

对于复杂电路中的无分支部分，其中具有任意一个电动势源和电阻并已给出这一部份的端电位差，则可以用类似方法写出其中电流的方程式(图1-11)。电路图中含电动势源部分的电流

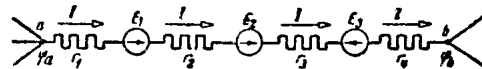


图 1-11.

I ，可能由点 a 流向点 b ，也可能是相反的。如事先不知道电流的方向，则在列出类似(1-11)的表达式时，应该任意地选定电流的方向。

在电路图这一部分中，此种任意选定的方向称为正方向，像实际的方向一样也用空箭头表示或在字母 I 的旁边标以下标。

选取此部分电流 I 的正方向为从点 a 到点 b (图1-11)。我们借助下式，用电位 φ_a 来决定电位 φ_b ：

$$\varphi_b = \varphi_a - r_1 I + E_1 - r_2 I + E_2 - r_3 I - E_3 - r_4 I.$$

由此等式，我们有：

$$I = I_{ab} = \frac{\varphi_a - \varphi_b + E_1 + E_2 - E_3}{r_1 + r_2 + r_3 + r_4} = \frac{U_{ab} + \sum E}{r_{ab}} = (U_{ab} + \sum E) g_{ab}, \quad (1-12)$$

其中 $r_{ab} = r_1 + r_2 + r_3 + r_4$ 为电路图中该部分的总电阻； $\varphi_a - \varphi_b = U_{ab}$ 为所研究部分顺着选定的电流方向的端电位差； $\sum E = E_1 + E_2 - E_3$ 为作用于同一部分的电动势的代数和，而且对于其方向和电流正方向相同的电动势取正号，不同的则取负号。

公式(1-12)是用于电路图有源部分的欧姆定律。

如根据公式(1-12)，在计算结果中电流得负值，则表示电流的实际方向与所选定的正方向不一致(与任选的正方向相反)。

对于电路中任何两点间的电压，也同样可以任意选定其正方向。电压的正方向用字母 U

傍邊的下標表示，或在電路圖中用箭頭表示。

對於電壓 $U_{ab} = \varphi_a - \varphi_b$ 來說，箭頭將從點 a 画向點 b ，假如我們已任取點 a 的電位高於點 b 。

對於電壓源的電動勢和電流源的電流，如不知其在的方向，也可以任意選定其正方向，並標以雙下標或箭頭。

在電路圖中具有無源元件的部分，電壓的正方向和電流的正方向應選為一致。在這種情形下，電壓的箭頭就可以不畫出來。在計算時，電壓和電流均應視為代數量。

1-4. 沿無分支電路 電位的分布情形

藉助圖解法可以很明顯地表示出電位沿無分支電路的分布情形。圖 1-12 表示一個具有兩個電動勢源 E_1 和 E_2 ，兩個內阻 r_{e1} 和 r_{e2} ，以及兩個電阻 r_1 和 r_2 的最簡單的無分支電路圖。

設電動勢 E_1 大於 E_2 。在這種情況下，實際的電流 I 等於：

$$I = \frac{E_1 - E_2}{r_1 + r_{e1} + r_2 + r_{e2}} \quad (1-18)$$

而方向則與電動勢 E_1 相一致。為了單值地決定所討論電路中各點的電位，假定點 a 的電位 φ_a 等於零。在下面我們來求出其餘各點的電位。

點 b 的電位低於點 a 的電位

$$\varphi_b = \varphi_a - r_1 I = -r_1 I$$

當通過第一個電源時，電位升高一個值 E_1 ，而由於內電壓降低，電位又降低，這樣，點 c 的電位就等於

$$\varphi_c = \varphi_b + E_1 - r_{e1} I = -r_1 I + E_1 - r_{e1} I$$

為了決定點 d 的電位 φ_d ，必須從電位 φ_c 減去 $r_2 I$ ，即

$$\varphi_d = \varphi_c - r_2 I = -r_1 I + E_1 - r_{e1} I - r_2 I$$

最後，當通過第二個電源時，由於電動勢 E_2 （根據電動勢的定義 $\varphi_d > \varphi_a$ ），也由於內電壓降低，電位的值降低了，而且點 a 的電位應該等於零：

$$\varphi_a = \varphi_d - E_2 - r_{e2} I = -r_1 I + E_1 - r_{e1} I - r_2 I - E_2 - r_{e2} I = 0$$

必須指出，從上述表达式不難求出公式(1-13)。

如沿橫坐標軸表示各段電阻，沿縱坐標軸表示各點電位（圖 1-13），則容易得出沿無分支

電路的電位分布圖。利用這個圖形可以決定電路中任何兩點間的電壓。特別是，從電位圖可以推出，第一個電源

的端電壓 $U_{cb} = \varphi_c - \varphi_b = E_1 - r_{e1} I$ ，其值比電動勢 E_1 低一個內電壓降低，而第二個電源的端電壓則相反，其值比電動勢 E_2 大一個內電壓降低，即

$$U_{da} = \varphi_d - \varphi_a = E_2 + r_{e2} I$$

電路中任何無源部分的電壓與電阻的比值等於該部分的電流，而在電位圖中則決定於相應直線對橫坐標軸傾斜角的正切。因此，決定沿無分支電路所有無源部分（具有同一個電流）電位變化的各段直線（例如，圖 1-13 的 ab 和 cd ）的斜度都是一樣的。

電源內部的電位分布圖，可以有不同的形式。在最簡單的情形下，可以假設 r_e 和 E 在電源內部的分布是均勻的，這時電源內部的電位分布圖為一直線的形式，表示電位的連續上升（在具有電動勢 E_1 的電源中為虛線 bc ）或連續下降（在有電動勢 E_2 的電源內為虛線 da ）。

1-5. 最簡單無分支 電路的功率平衡

我們來研究由一個具有電動勢 E_1 和內阻

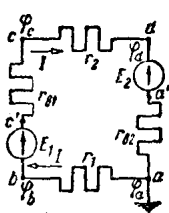


圖 1-12.

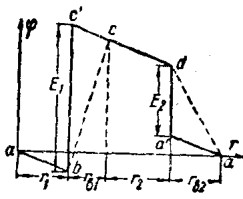


圖 1-13.

的電源。利用這個圖形可以決定電路中任何兩點間的電壓。特別是，從電位圖可以推出，第一個電源的端電壓 $U_{cb} = \varphi_c - \varphi_b = E_1 - r_{e1} I$ ，其值比電動勢 E_1 低一個內電壓降低，而第二個電源的端電壓則相反，其值比電動勢 E_2 大一個內電壓降低，即

$r_{\sigma 1}$ 的直流电机和一个具有电动势 E_2 及内阻 $r_{\sigma 2}$ 的蓄电池所组成的电路的能量关系(圖 1-14)。电机和蓄电池的电动势的方向彼此相反。設电机的电动势 E_1 大于蓄电池的电动势 E_2 。在这个条件下, 电流 I 的实际方向与电动势 E_1 的方向相同。这两个电源的端电压 U 比电机的电动势 E_1 低了一个电机的内电压降落 $r_{\sigma 1} I$, 而比蓄电池的电动势 E_2 则高了一个数值 $r_{\sigma 2} I$, 这正与上节所指出的相同:

$$U = E_1 - r_{\sigma 1} I \quad (1-14)$$

$$\text{或} \quad U = E_2 + r_{\sigma 2} I. \quad (1-15)$$

在方程式 (1-14) 的兩邊各乘以 I 并进行移項, 得到:

$$E_1 I = r_{\sigma 1} I^2 + U I. \quad (1-16)$$

这个方程式的左边是电机所發出的功率; 同一方程式的右边的第一項决定在电机繞組中热损失的功率, 而右边第二項則为电机的輸出功率, 因而也是蓄电池所消耗的功率。在方程式 (1-15) 的右边和左边各乘以电流 I , 我們有:

$$U I = r_{\sigma 2} I^2 + E_2 I. \quad (1-17)$$

从这个方程式可以直接得到結論, 蓄电池所用去的功率 $U I$ 消耗在热损失 $r_{\sigma 2} I^2$ 和蓄电池充电 $E_2 I$ 上面。

所得到的功率平衡关系式不仅能用于蓄电池充电的电路, 而且可以用于任何其他电路。所不同者仅为, 对于另一种电路, 能量不消耗在充电上面而消耗在另一种过程上面, 例如消耗在作机械功方面, 像在电动机中所發生的那样。

如將电源表示成另一种等值电路圖(圖 1-15), 則电流源所發出的功率并不等于电动势源所發出的功率。

实际上, 电流源所發出的功率决定于电流

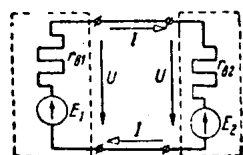


圖 1-14.

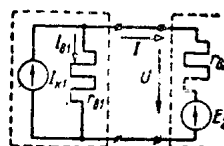


圖 1-15. $I_{\kappa 1}$ 与电流源的端电压 U 的乘积, 即 $I_{\kappa 1} U$ 。因为 $I_{\kappa 1} = I_{\sigma 1} + I$ 和 $I_{\sigma 1} =$

$$= \frac{U}{r_{\sigma 1}}, \text{ 所以代換了 } I_{\kappa 1}$$

并作簡單变换之后, 我們有:

$$I_{\kappa 1} U = (I_{\sigma 1} + I) U = \frac{U^2}{r_{\sigma 1}} + U I. \quad (1-18)$$

比較表达式 (1-18) 和 (1-16) 就可直接得出, 当兩种电源的端电压和电流都相同时, 圖 1-14 电路圖中的热损失 $r_{\sigma 1} I^2$ 在一般情形下不等于圖 1-15 电路圖中的热损失 $\frac{U^2}{r_{\sigma 1}}$, 因而电动势源所發出的功率 $E_1 I$ 不等于电流源所發出的功率 $I_{\kappa 1} U$ 。当采用电动势源或电流源来代替电源时, 应注意到这种情形。

例 1-1. 在兩個串联电源(电动势 $E_1=12$ 伏和 $E_2=48$ 伏, 内阻 $r_{\sigma 1}=0.4$ 欧和 $r_{\sigma 2}=0.6$ 欧)的兩端接一个具有可变电阻 r 的受电器(圖 1-16)。試求当电阻 r 中的功率具有最大值时, 电阻 r 的数值。在电阻的这个数值下, 求出电源和受电器中的功率的值。

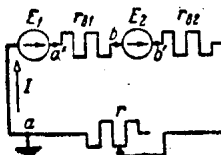


圖 1-16.

解 我們利用功率的表达式 $P=rI^2$ 来决定, 当电阻 r 中的功率具有最大值时电阻 r 的数值。

因为电流

$$I = \frac{E_1 + E_2}{r_{\sigma 1} + r_{\sigma 2} + r},$$

所以

$$P = r \frac{(E_1 + E_2)^2}{(r_{\sigma 1} + r_{\sigma 2} + r)^2}.$$

对 r 求 P 的导数, 并令其等于零, 結果得到:

$$r = r_{\sigma 1} + r_{\sigma 2} = 1 \text{ 欧。}$$

根据下述公式求其余的量:

$$\text{电流 } I = \frac{E_1 + E_2}{2r} = \frac{12 + 48}{2} = 30 \text{ 安;}$$

第一个和第二个电动势源的功率:

$$P_{u1} = E_1 I = 12 \times 30 = 360 \text{ 瓦;}$$

$$P_{u2} = E_2 I = 48 \times 30 = 1440 \text{ 瓦;}$$

受电器的功率